

# 基于 TSSP 虚时演化求解 BEC 中的 GP 方程

赵莹杉 张婧瑶

Tongji University

2022.06.09

# Table of Contents

## ① 玻色-爱因斯坦凝聚概述

- BEC 理论及实验背景
- BEC 的物理图像

## ② Gross-Pitaevskii 方程

- 理论推导
- 时间劈裂赝谱虚时演化算法
- 结果分析

## ③ 总结与讨论

## ④ 附录

# BEC 及实验背景

**Bose-Einstein condensate**<sup>1</sup>: 理想玻色气体温度降低到对应的临界温度之下后, 宏观数量的玻色子将占据同一个量子态, 发生凝聚现象。BEC 是典型的**宏观量子态**, 具有高度可控的量子特性, 其制备是量子模拟和量子精密测量研究的基础。

- Einstein 预言 BEC 的存在 (1925) → London 提出超流态液氦本质上是 BEC (1938) → 实验上观察到  $^{87}\text{Rb}$  的 BEC 现象 (1995)<sup>2</sup>
- 在“**原子气体玻色爱因斯坦凝聚体虚拟仿真实验**”中, 运用了激光冷却、磁光陷阱冷却和蒸发冷却等技术, 制备了  $^{87}\text{Rb}$  的 BEC。由飞行时间图像, 处理得到温度在 100 nK 左右。

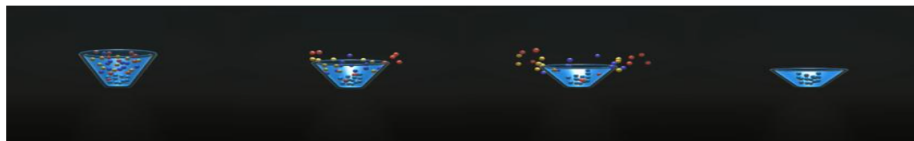


图 6 蒸发冷却获得 BEC

<sup>1</sup>[https://en.wikipedia.org/wiki/Bose-Einstein\\_condensate](https://en.wikipedia.org/wiki/Bose-Einstein_condensate)

<sup>2</sup>吴迺. 玻色-爱因斯坦凝聚体中的基态和涡旋环动力学性质研究 [D]. 扬州大学, 2020. DOI:10.27441.

# BEC 系统的统计理论

考虑由  $N$  个全同、近独立的玻色子组成的系统，温度为  $T$ ，体积为  $V$ ，粒子数密度  $n = N/V$ 。根据玻色分布，定义化学势  $\mu < 0$  满足<sup>3</sup>：

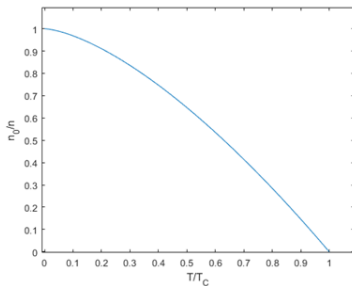
$$\therefore \frac{2\pi}{h^3}(2m)^{3/2} \int_0^\infty \frac{\varepsilon^{1/2} d\varepsilon}{\exp(\frac{\varepsilon - \mu}{kT}) - 1} = n = \text{constant} \quad \therefore T \rightarrow T_C, \quad \mu \rightarrow -0.$$

critical temperature : 
$$T_C = \frac{2\pi}{(2.612)^{2/3}} \frac{\hbar^2}{mk} (n)^{2/3}$$

$$n_0(T) + \frac{2\pi}{h^3}(2m)^{3/2} \int_0^\infty \frac{\varepsilon^{1/2} d\varepsilon}{\exp(\frac{\varepsilon}{kT}) - 1} = n, \quad (T \leq T_C)$$

处在最低能级的粒子数密度为  $n_0(T) = n \left[ 1 - \left( \frac{T}{T_C} \right)^{3/2} \right]$

温度低于  $T_C$  时，温度越低，凝聚的原子数比例越高



<sup>3</sup>汪志诚. 热力学统计物理 [M]. 北京：高等教育出版社，2013:230-235

# BEC 的物理图像

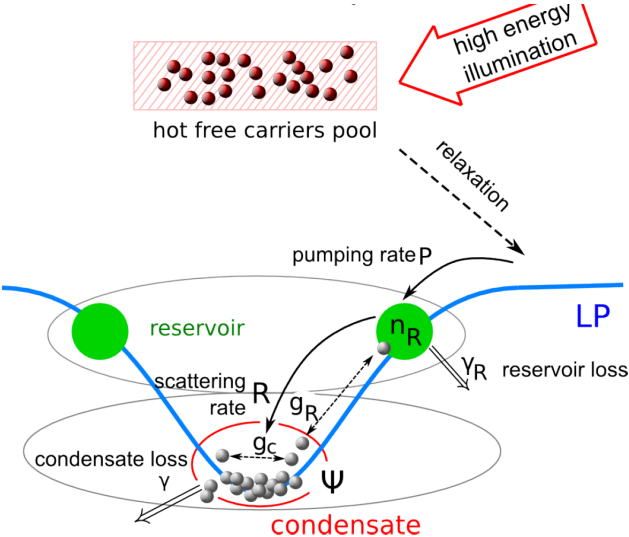


图 1: 开放耗散的 BEC 系统的物理图像<sup>4</sup>

<sup>4</sup>[http://www.fuw.edu.pl/wiki/images/6/67/TheoreticalDescriptionofBEC\\_NB.pdf](http://www.fuw.edu.pl/wiki/images/6/67/TheoreticalDescriptionofBEC_NB.pdf)

# GP 方程的理论推导

**Gross-Pitaevskii equation**<sup>5</sup>: 使用 Hartree-Fock 近似和赝势模型描述了由全同玻色子组成的量子多体系统的基态。

$$\Psi(\mathbf{r}_1, \mathbf{r}_2, \dots, \mathbf{r}_N) = \psi(\mathbf{r}_1)\psi(\mathbf{r}_2) \cdots \psi(\mathbf{r}_N)$$

$$\mathcal{H} = \sum_{i=1}^N \left[ -\frac{\hbar^2}{2m} \nabla_i^2 + V(\mathbf{r}_i) \right] + g \sum_{i < j} \delta(\mathbf{r}_i - \mathbf{r}_j), \quad \text{where } g = \frac{4\pi\hbar^2 a_s}{m}$$

重新定义一个**凝聚体波函数**  $\Psi(\mathbf{r}) = \sqrt{N}\psi(\mathbf{r})$ , 满足归一化条件  $\int |\Psi(\mathbf{r})|^2 d\mathbf{r}^3 = N$

## Gross-Pitaevskii equation

$$\left[ -\frac{\hbar^2}{2m} \nabla^2 + V(\mathbf{r}) + g|\Psi(\mathbf{r})|^2 \right] \Psi(\mathbf{r}) = \mu \Psi(\mathbf{r})$$

$$i\hbar \frac{\partial}{\partial t} \Psi(\mathbf{r}, t) = \left[ -\frac{\hbar^2}{2m} \nabla^2 + V(\mathbf{r}) + g|\Psi(\mathbf{r}, t)|^2 \right] \Psi(\mathbf{r}, t)$$

<sup>5</sup>[https://en.wikipedia.org/wiki/Gross-Pitaevskii\\_equation](https://en.wikipedia.org/wiki/Gross-Pitaevskii_equation)

# 时间劈裂赝谱虚时演化算法

$$i\hbar \frac{\partial}{\partial t} \psi(x, t) = \mathbf{A} \psi(x, t), \quad \mathbf{A} = T + V + G = -\frac{\hbar^2}{2m} \frac{d^2}{dx^2} + V(x) + gN|\psi(x, t)|^2$$

**Time-splitting spectral:** 通过傅里叶变换, 使动能和势能在各自对角的表象下发挥作用

$$U(\Delta t) \approx e^{-i\frac{V+G}{2}\Delta t} e^{-iT\Delta t} e^{-i\frac{V+G}{2}\Delta t}$$

## TSSP 的数值离散格式

$$\psi_j := \psi_j \cdot \exp \left[ -\frac{i\Delta t}{2} (V(x_j) + G(\psi_j)) \right]$$

$$\phi \Leftarrow \text{FFT} \Leftarrow \psi$$

$$\phi_j := \phi_j \cdot \exp \left( -i\Delta t \cdot \frac{k_j^2}{2m} \right)$$

$$\psi \Leftarrow \text{IFFT} \Leftarrow \phi$$

$$\psi_j := \psi_j \cdot \exp \left[ -\frac{i\Delta t}{2} (V(x_j) + G(\psi_j)) \right]$$

# 时间劈裂赝谱虚时演化算法

$$i\hbar \frac{\partial}{\partial t} \psi(x, t) = \mathbf{A} \psi(x, t), \quad \mathbf{A} = T + V + G = -\frac{\hbar^2}{2m} \frac{d^2}{dx^2} + V(x) + gN|\psi(x, t)|^2$$

**Imaginary-time propagation method:** 对于含时薛定谔方程, 令**虚时间**  $\tau = it$ , 演化最终得到系统基态

## 虚时演化原理

$$\psi(x, \tau) = \sum_i c_i e^{-E_i \tau} \psi_i(x) = e^{-E_0 \tau} \left[ c_0 \psi_0 + \sum_{i=1} c_i e^{-(E_i - E_0) \tau} \psi_i(x) \right]$$
$$\psi(x, \tau) \xrightarrow{\text{long } \tau} \psi_0(x) e^{-E_0 \tau}$$

## 数值方法分析:

- Krylov 迭代的问题: 本征矢不正交, 容易收敛到不需要的本征值。
- 空间有限差分的缺点: 空间精度比较低, 同时配合使用显式龙格库塔方法则不稳定, 高频噪声会迅速发散。
- TSSP 的优点: 具有很高的精度的同时数值稳定性非常强。



# 结果分析

## GP 方程中相互作用的耦合项对 BEC 系统特性的影响

表 1: 谐振子势参数与耦合系数

$\omega$	$g_{\text{non}}N$	$g_{\text{rep}}N$	$g_{\text{att}}N$
1.0	0.0	5.0	-2.0

表 2: 系统化学势  $\mu$  (数值结果)

$\mu_{\text{non}}$	$\mu_{\text{rep}}$	$\mu_{\text{att}}$
0.50	2.02	-0.48

ground-state condensate wavefunction in BEC

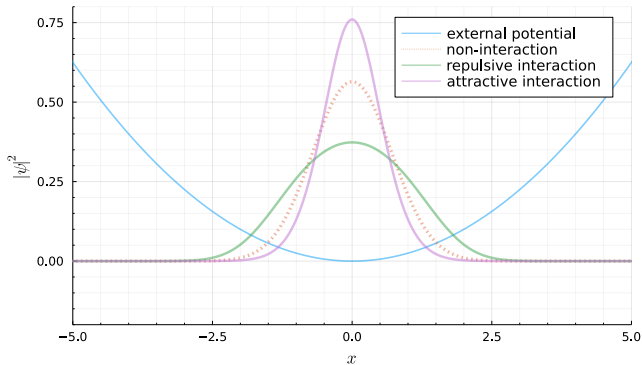
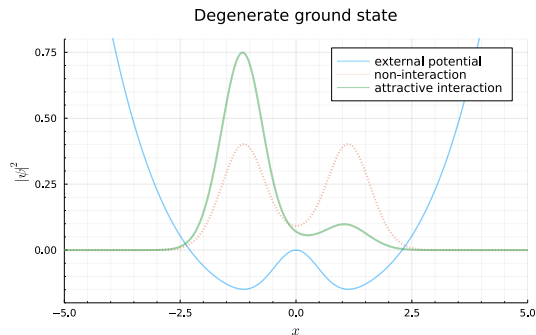


图 2: 展示了在谐振子外部势场下, 玻色子间相互作用分别为无/排斥/吸引的 BEC 系统的凝聚体波函数基态。排斥相互作用使波函数更弥散, 吸引相互作用使波函数更集中。

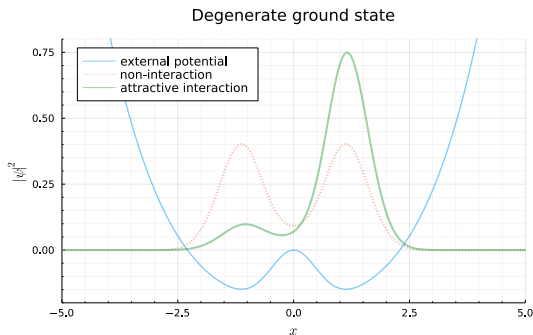
# 结果分析

特别地，一维凝聚体波函数的基态可能会出现简并

$$V(x) = \frac{1}{2}x^2 + \frac{1}{20}x^4 + 4\exp(-2x^2), \quad gN = -0.5$$



(a) 收敛到基态波函数其一



(b) 收敛到基态波函数其二

**图 3:** 在对称初态上施加不同的初始噪声，最后收敛的基态波函数，左右分别为两个随机可能出现的情况。可以看出在一些情况下，吸引势造成了对称破缺，凝聚体波函数基态不再具有哈密顿量的空间反演对称性，能量基态出现二重简并。

# 总结与讨论

- ① 对 **BEC** 理论和实验背景，及量子力学对 BEC 系统的微观描述—**GP 方程**进行了探究
- ② 使用**时间劈裂赝谱方法**结合**虚时演化方法**数值求解了含时 GP 方程
- ③ 定性讨论了 GP 方程中相互作用的耦合项对 BEC 系统特性的影响
- ④ 观察到“一维凝聚体波函数的基态可能会出现简并”的特殊现象
- ⑤ 对虚时演化和实际实验中的动力学过程的关联进行了简单讨论

## 小组分工

- 张婧瑶 学号：1952498 负责 BEC 与 GP 方程概述部分
- 赵莹杉 学号：1952275 负责数值求解 GP 方程与分析部分

# 代码附录

```
1 ## TSSP Method for 1D Non-linear Schrödinger Equation
2 #  $\psi_0$ , x should be 1D arrays of the same size.
3 #  $V(x,\psi)$  is the non-linear potential.
4 using LinearAlgebra
5 using FFTW
6
7 @inline function iV_step!( $\psi_n$ , V, x, dt, Nx)
8     @inbounds for i in 1:Nx
9          $\psi_n[i] \mathrel{+=} \exp(-V(x[i], \psi_n[i]) * dt)$ 
10     end
11 end
12
13 @inline function iT_step!( $\psi_n$ ,  $\omega_g$ , dt, Nx)
14     fft!( $\psi_n$ )
15     @inbounds for i in 1:Nx
16          $\psi_n[i] \mathrel{+=} \exp(-\omega_g[i] * dt)$ 
17     end
18     ifft!( $\psi_n$ )
19 end
20
21 function iTSSP( $\psi_0$ , V, x, t)
22     dx = x[2] - x[1]
23     Nx = length(x); Nt = length(t)
24     # k空间的高阶点
25      $k_g = (2\pi / dx) .* (((-Nx+2) // Nx) : (1 // Nx) : ((Nx+2-1) // Nx))$ 
26     # 计算对应频率并且按照fft的顺序重排
27     #  $\omega_g = (k_g.^2 / 2)$ 
28      $\omega_g = \text{circshift}((k_g.^2 / 2), -(Nx+2))$ 
29      $\psi_s = \text{zeros}(\text{ComplexF64}, Nx, Nt)$  # 分配数组
30      $\psi_s[:, 1] \mathrel{=}$   $\psi_0$  # 初值
31     for i in 1:Nt-1
32         normalize!(@view  $\psi_s[:, i]$ )
33          $\psi_s[:, i] \mathrel{=}$   $\sqrt{dx}$ 
34         dt = t[i+1] - t[i]
35          $\psi_n = @view \psi_s[:, i+1]$ 
36         copy!( $\psi_n, \psi_s[:, i]$ )
37         # Step V-T-V
38         iV_step!( $\psi_n$ , V, x, dt/2, Nx)
39         iT_step!( $\psi_n$ ,  $\omega_g$ , dt, Nx)
40         iV_step!( $\psi_n$ , V, x, dt/2, Nx)
41     end
42     return  $\psi_s$ 
43 end
```

Combo  
Max 10734

3

```
1 using BenchmarkTools
2 using Plots, LaTeXStrings, Measures; gr()
3 include("TSSP1D.jl")
4
5 xgrid = LinRange(-6,6,800)
6 tgrid = LinRange(0,1000,50000)
7 C = 1/24*(xgrid[2]-xgrid[1])^2
8 function energy(q,Vfunc)
9     V = Vfunc.(xgrid,q)
10     Aq = C * ( circshift(q,2) - 16*circshift(q,1) + 30*q - 16*circshift(q,-1) +
11         * circshift(q,-2) ) + V .* q
12     E = real( dot(q,Aq) / dot(q,q) )
13 end
14
15 V(x) = x^2 / 20 + x^4/20 + 4exp(-2x^2)
16 V0(x, $\psi$ ) = V(x)
17 V1(x, $\psi$ ) = V(x) + 5.0 * abs2( $\psi$ )
18 V2(x, $\psi$ ) = V(x) - 2.0 * abs2( $\psi$ )
19  $\psi_0 = \text{ComplexF64}[ \exp(-x^2 / 2) / (n)^(1/4) + 0.1randn() \text{ for } x \text{ in } xgrid ]$ 
20
21  $\psi_0 = \text{iTSSP}(\psi_0, V_0, xgrid, tgrid)$ 
22  $\psi_1 = \text{iTSSP}(\psi_0, V_1, xgrid, tgrid)$ 
23  $\psi_2 = \text{iTSSP}(\psi_0, V_2, xgrid, tgrid)$ 
24 E0 = energy(  $\psi_0[:, \text{end}-1]$ , V0 )
25 E1 = energy(  $\psi_1[:, \text{end}-1]$ , V1 )
26 E2 = energy(  $\psi_2[:, \text{end}-1]$ , V2 )
27
28 p1 = plot(size = (800,500), minorgrid = true,
29     titlefontsize=16, legendfontsize=12,
30     guidefontsize=14, tickfontsize=10,
31     legend=:topright, margins=5mm)
32 title!("ground-state single-particle wavefunction in BEC")
33 plot!(xgrid, x $\rightarrow$ 0.05*(V(x)-V(0)), line=(2,0.5), labels="external
34     potential")
35 plot!(xgrid, abs2( $\psi_0[:, \text{end}-1]$ ), line=(4,0.5,:dot), labels="non-
36     interaction")
37 plot!(xgrid, abs2( $\psi_1[:, \text{end}-1]$ ), line=(3,0.5), labels="repulsive
38     interaction")
39 plot!(xgrid, abs2( $\psi_2[:, \text{end}-1]$ ), line=(3,0.5), labels="attractive
40     interaction")
41 xaxis!(L"x")
42 yaxis!(L"| $\psi$ |^2")
43 xlims!(-5,5)
44 ylims!(-0.2,0.8)
45 savefig(p1, "GPE.svg")
46
47 p2 = plot(size = (800,500), minorgrid = true,
48     titlefontsize=16, legendfontsize=12,
49     guidefontsize=14, tickfontsize=10,
50     legend=:topleft, margins=5mm)
51 title!("Degenerate ground state")
52 plot!(xgrid, x $\rightarrow$ 0.05*(V(x)-V(0)), line=(2,0.5), labels="external
53     potential")
54 plot!(xgrid, abs2( $\psi_0[:, \text{end}-1]$ ), line=(3,0.5,:dot), labels="non-
55     interaction")
56 plot!(xgrid, abs2( $\psi_2[:, \text{end}-1]$ ), line=(3,0.5), labels="attractive
57     interaction")
58 xaxis!(L"x")
59 yaxis!(L"| $\psi$ |^2")
60 xlims!(-5,5)
61 ylims!(-0.2,0.8)
```

Combo  
Max 10734

1